

01;06.2;09

©1995

ОТРАЖЕНИЕ МОЩНОЙ СВЧ-ВОЛНЫ ОТ ДИОДА С БАРЬЕРОМ ШОТТКИ

А.А.Беляевский, В.И.Борисов, С.Г.Дмитриев

Теоретический анализ работы полупроводниковых (п/п) приемно-преобразующих устройств электромагнитного излучения СВЧ-диапазона обычно проводится в приближении малого входного сигнала, что и соответствует рабочим условиям эксплуатации п/п приборов в этих устройствах. В частности, конструкция преобразователя призвана обеспечивать практически полное поглощение падающей волны малой мощности данной частоты ω в нелинейном элементе [1]. С ростом мощности излучения вследствие нелинейности вольт-амперной характеристики активного элемента, которым обычно является п/п диод с барьером Шоттки, условия согласования нарушаются, и часть падающей мощности отражается от входа устройства. Анализ зависимости коэффициента отражения $r(P)$ от величины падающей мощности P в одномодовом волноводе, которому и будет посвящена настоящая работа, полезен для изучения и прогнозирования процессов деградации п/п приборов [2], для расчета ректен [3] и представляет самостоятельный научный интерес.

Расчет тока $I(t)$ через п/п диод будет проведен для простой эквивалентной схемы прямосмещенного (на V_0) диода без внешней нагрузки (см. вставку к рис. 1). Здесь

$$I_e(V) = I_s \cdot \left[\exp \left(\frac{e \cdot V}{kT} \right) - 1 \right]; \quad I_s = S \cdot A^* \cdot T^2 \exp \left(-\frac{e \cdot \Phi_k}{kT} \right);$$

$$I_c(V) = C(V) \cdot \frac{dV}{dt}; \quad C(V) = S \cdot \left[\frac{\varepsilon \cdot \varepsilon_0 e \cdot N_d}{2(\Phi_k - V)} \right]^{1/2}; \quad (1)$$

$I_e(V)$ — ток эмиссии через барьер Шоттки, определяющий нелинейное сопротивление $R(V)$ барьера; V — напряжение на барьере; $I_c(V)$ и $C(V)$ — емкостной ток и дифференциальная емкость обедненного слоя, Φ_k — высота барьера Шоттки, e — элементарный заряд, k — постоянная Больцмана, T — температура, N_d — концентрация примесей; ε , ε_0 — диэлектрическая проницаемость вакуума и относительная диэлектрическая проницаемость, S — площадь контакта,

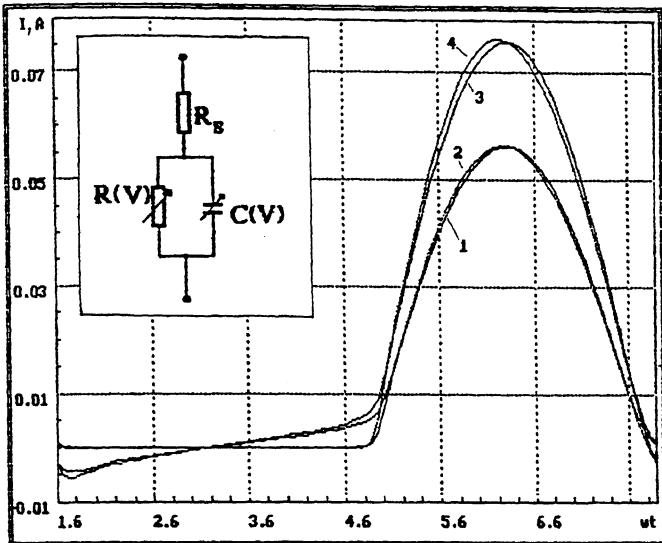


Рис. 1. Временные зависимости тока эмиссии через барьер (1, 3) и полного тока диода (2, 4) при $T = 293$ К и падающей мощности 25 мВт (1, 2) и 35 мВт (3, 4).

A^* — термоэмиссионная постоянная, R_s — последовательное омическое сопротивление диода (подробнее см., например, [2, 4]).

Мы будем также пренебрегать высшими гармониками СВЧ-напряжения на диоде (которые можно уменьшить конструктивными методами [1]). При указанных предположениях V , как нетрудно показать, может быть определено из уравнений:

$$U_1 \cos \omega t + V_0 - V = (I_e + I_c) \cdot R_s,$$

$$P_0 = P(1 - r) = 1/2 U_1^2 \operatorname{Re}(1/z_1), \quad (2)$$

где U_1 — амплитуда первой гармоники напряжения на диоде, z_1 — импеданс диода по первой гармонике, P_0 — поглощаемая в диоде мощность, r — коэффициент отражения, который обычно определяют в рамках метода эквивалентных схем (с линейным четырехполюсником без потерь, описывающим трансформацию энергии волны в токи диода [5]). Известное выражение для r :

$$r = \left| \frac{z_h - z_l}{z_h + z_l} \right|^2,$$

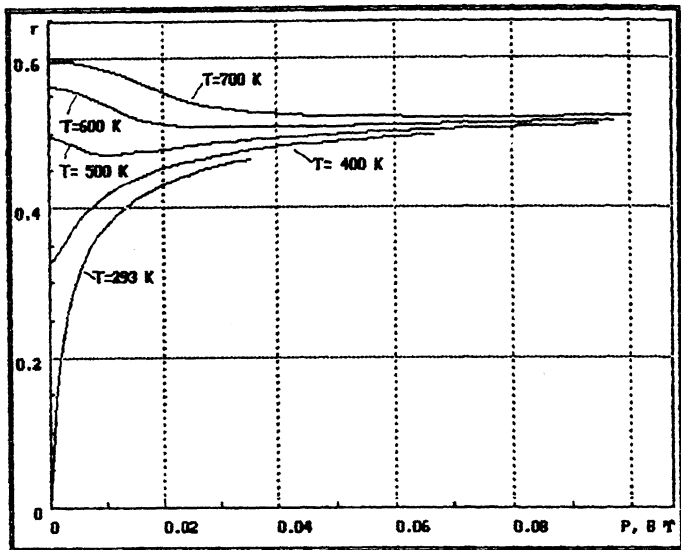


Рис. 2. Зависимости коэффициента отражения от мощности при различных температурах.

где z_h и z_l — входной импеданс камеры с диодом и волновое сопротивление подводящего тракта, в данном случае удобно преобразовать к формуле, содержащей зависимость от импеданса диода в явном виде:

$$r = \left| \frac{z_1(\omega) - z_0}{z_1(\omega) + z_0^*} \right|^2, \quad (3)$$

где z_0 — некоторый комплексный параметр (знак * — означает комплексное сопряжение).

Эта формула может быть получена традиционным путем с помощью матричного описания четырехполюсника. Однако заметив, что коэффициент отражения по напряжению $\Gamma = U_o/U_p$ (где U_p и U_o — комплексные амплитуды падающей и отраженной волн; $r = |\Gamma|^2$ [5]) является дробно-линейной функцией z_1 (в силу линейности четырехполюсника) и $|\Gamma| = 1$ для чисто мнимых z_1 в силу закона сохранения энергии, выражение (3) может быть получено путем относительно несложного анализа последнего тождества. При этом, очевидно, величине z_0 можно придать смысл дифференциального малосигнального импедан-

са диода в условиях согласования, когда $r = 0$. В таком случае z_0 определяется эквивалентной схемой диода с $C(V_1)$ и

$$R = \left(\frac{dI_\Theta}{dV} \right)^{-1} \Big|_{V=V_1} = \frac{kT}{e} \cdot \frac{1}{I_s + I_\Theta(V_1)}, \quad (4)$$

где V_1 — постоянное напряжение на барьере.

Далее, импеданс диода z_1 может быть найден по временной зависимости первой гармоники тока $I_1(t)$:

$$I_1(t) = U_1(a \cos \omega t + b \sin \omega t),$$

$$z_1 = (a + ib)/(a^2 + b^2), \quad (5)$$

а коэффициенты a и b определяются путем разложения $I(t)$ в ряд Фурье.

Результаты численного расчета зависимостей $I(t)$, $I_\Theta(t)$ и $r(P)$ на основе уравнений (1)–(5) для частоты 40 ГГц и типичных для GaAs диодов значений параметров ($\Phi_k = 0.9$ эВ, $\varepsilon = 13.1$, диаметр — 4 мкм, $A^* = 7.8 \text{ A/cm}^2 \cdot \text{K}^2$, $V_0 = 0.75$ В, $R_s = 10$ Ом, $N_d = 10^{17} \text{ см}^{-3}$ [2,4]) приведены на рис. 1, 2. Подробное описание метода расчета довольно громоздко и будет представлено в другом месте.

Список литературы

- [1] Клич С.М. Проектирование СВЧ-устройств радиолокационных приемников. М.: Сов. радио, 1973. 320 с.
- [2] Metal-Semiconductor Shottky Barrier Junctions and Their Applications / Ed. by B.L. Sharma. Plenum Press. New York and London. 1974. 369 p.
- [3] Yoo T.-W., Chang K. // IEEE Trans. Microwave Theory Tech. 1992. V. MTT-40, N 6. P. 1259–1266.
- [4] Родерик Э.Х. Контакты металл–полупроводник. М.: Радио и связь, 1982. 208 с.
- [5] Сазонов Д.М., Гридин А.Н., Мишустин Б.А. Устройства СВЧ. М.: Высш. шк., 1981. 295 с.

Институт радиотехники
и электроники АН СССР

Поступило в Редакцию
10 января 1995 г.